

Fig. 1

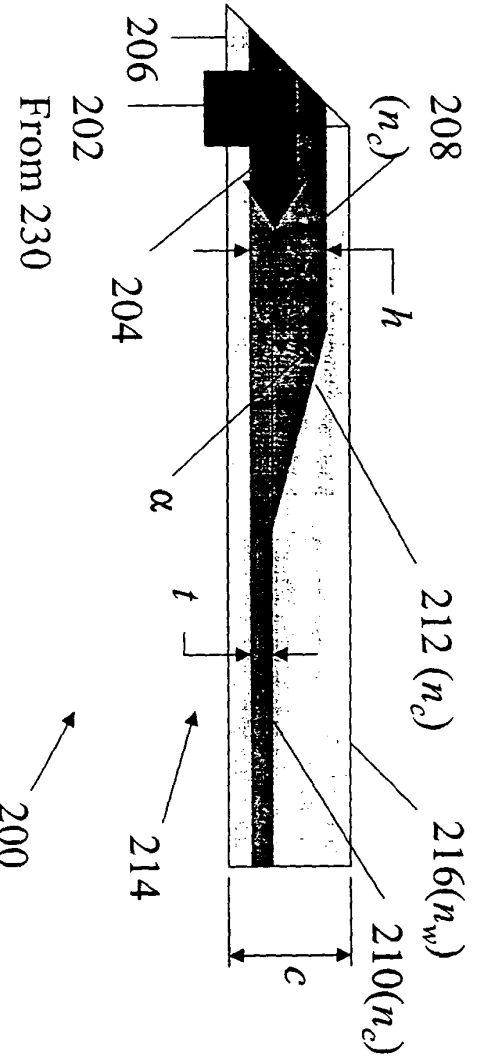


Fig. 2

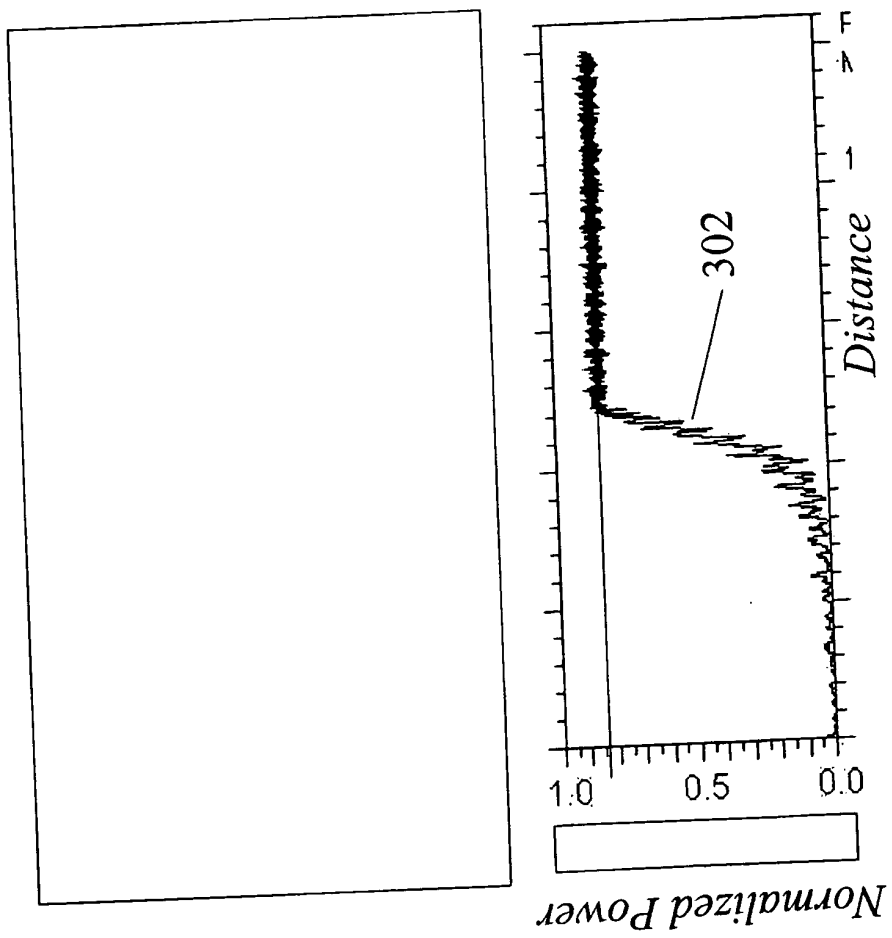


Fig. 3
(See Fig. 2)

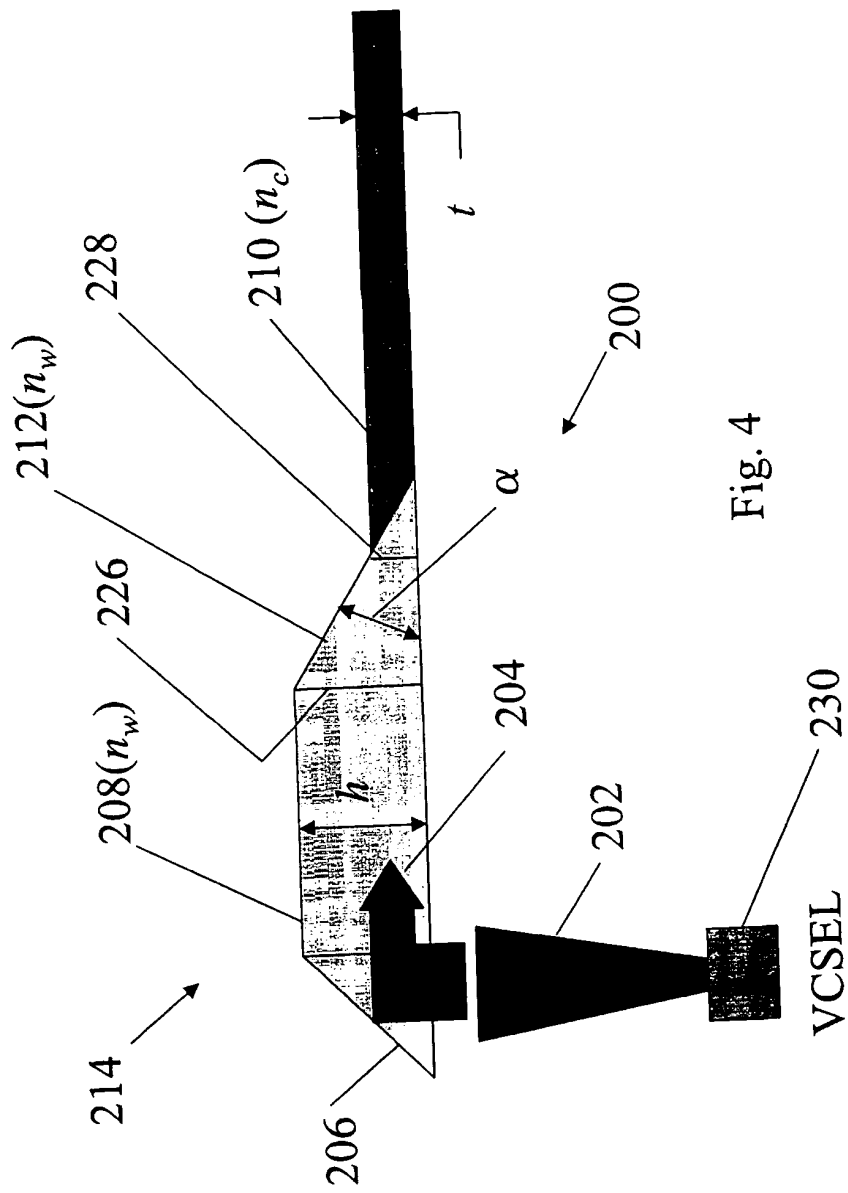


Fig. 4

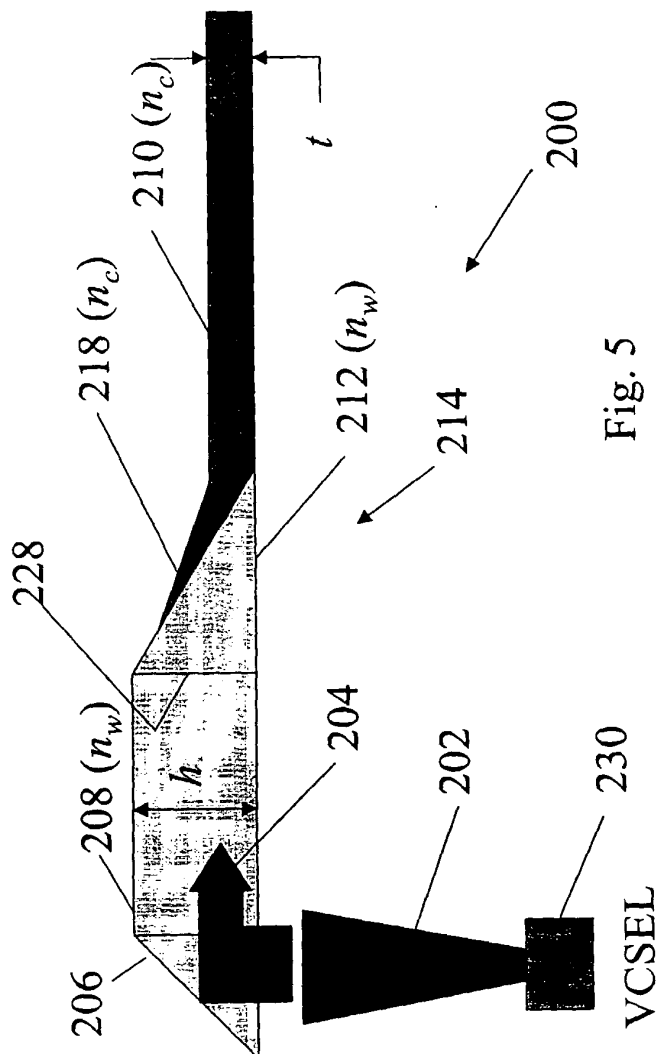


Fig. 5

Fig. 6
(See Fig. 8)

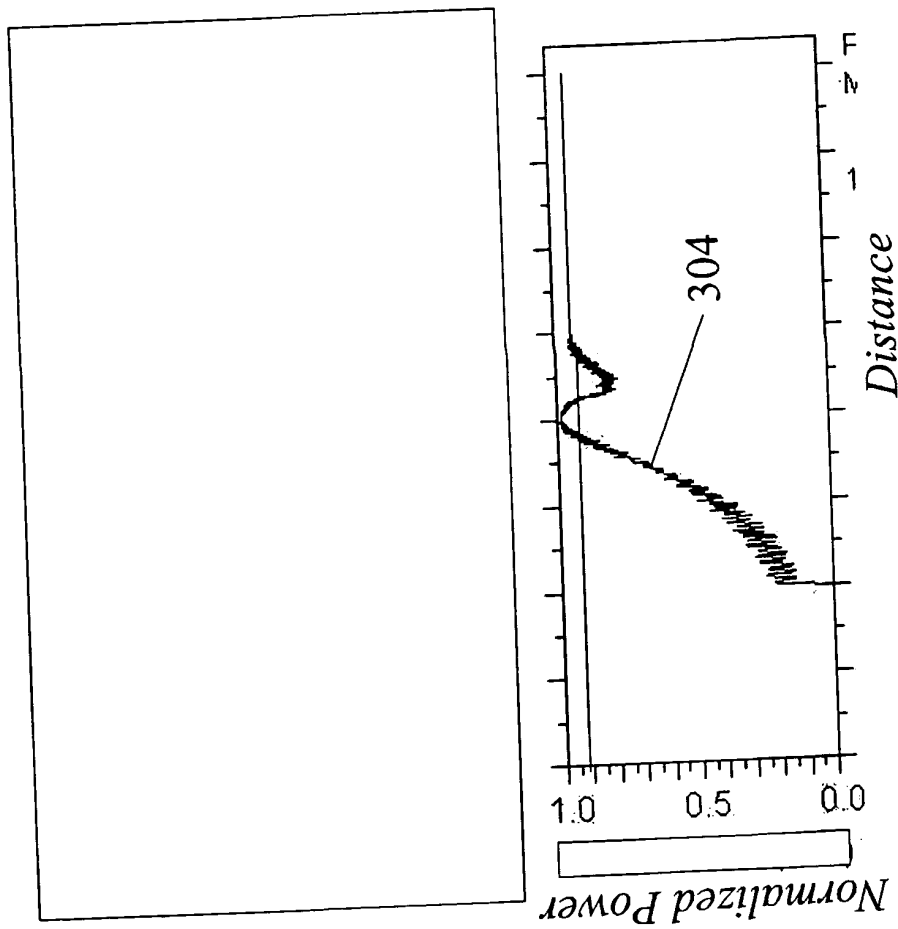
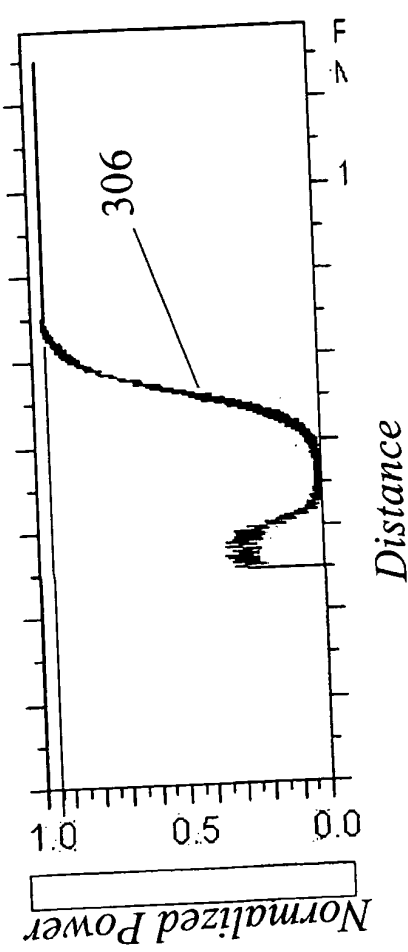


Fig. 7
(See Fig. 5)



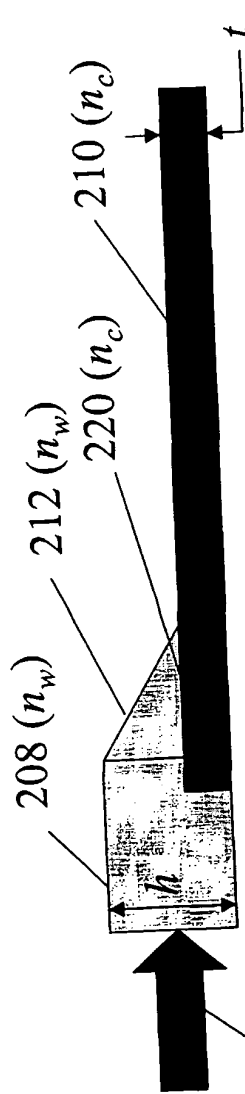


Fig. 8

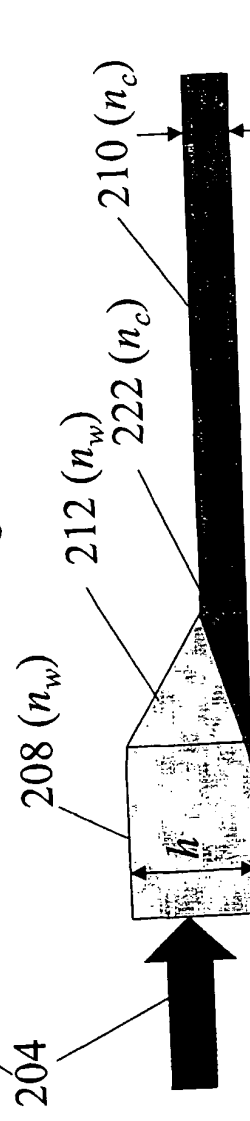


Fig. 9

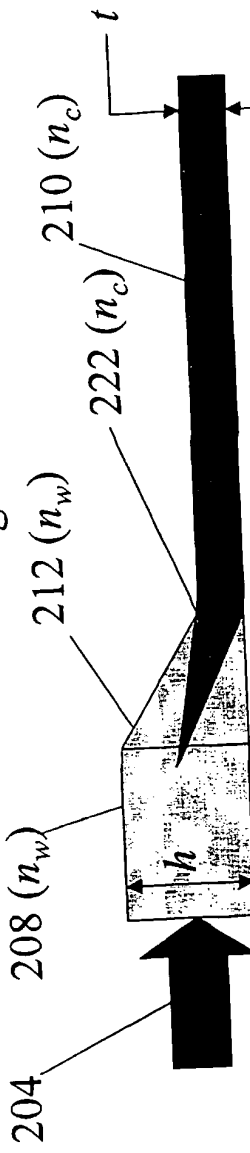


Fig. 10

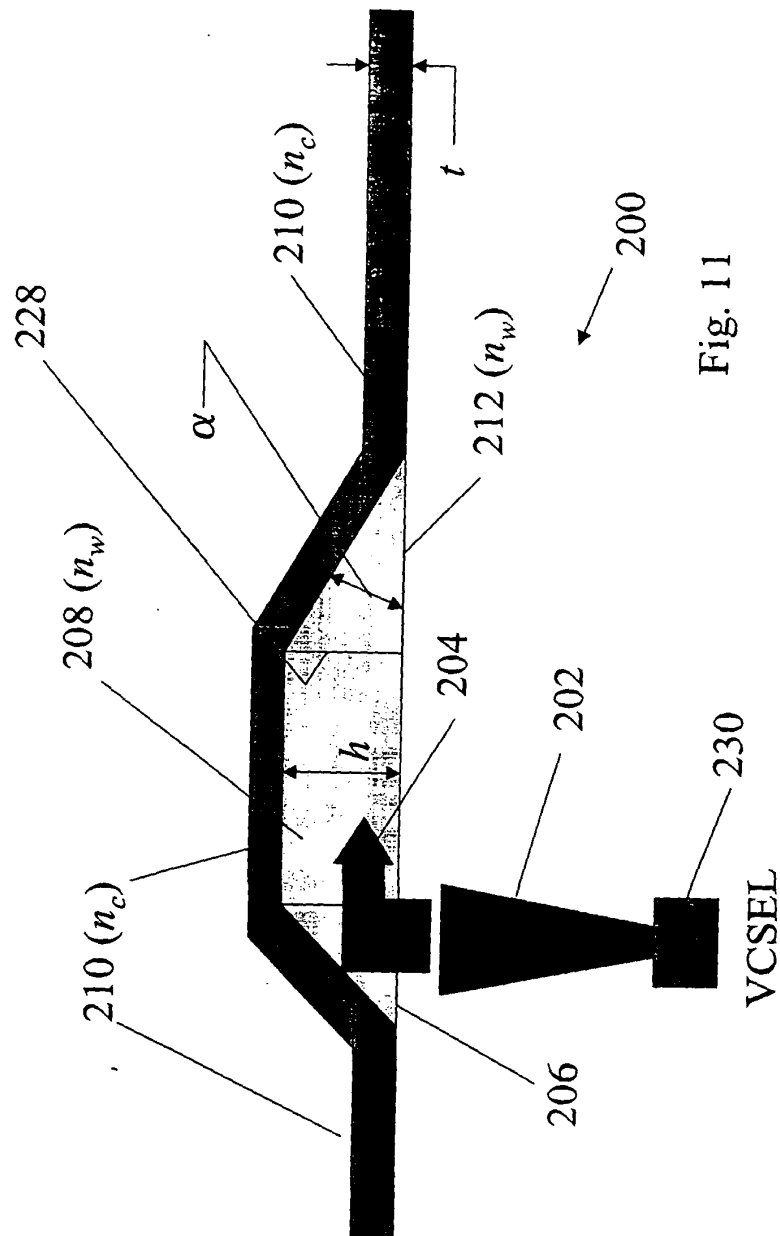
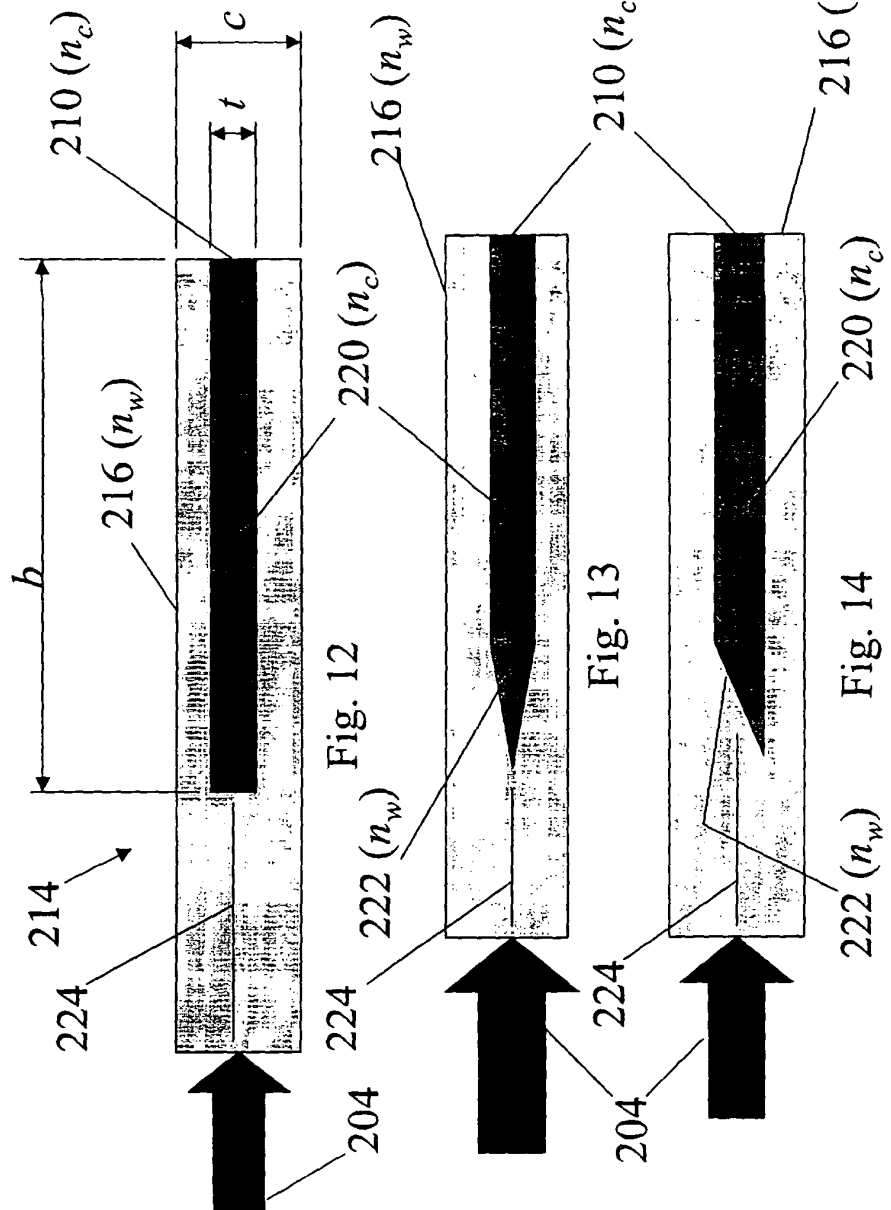


Fig. 11



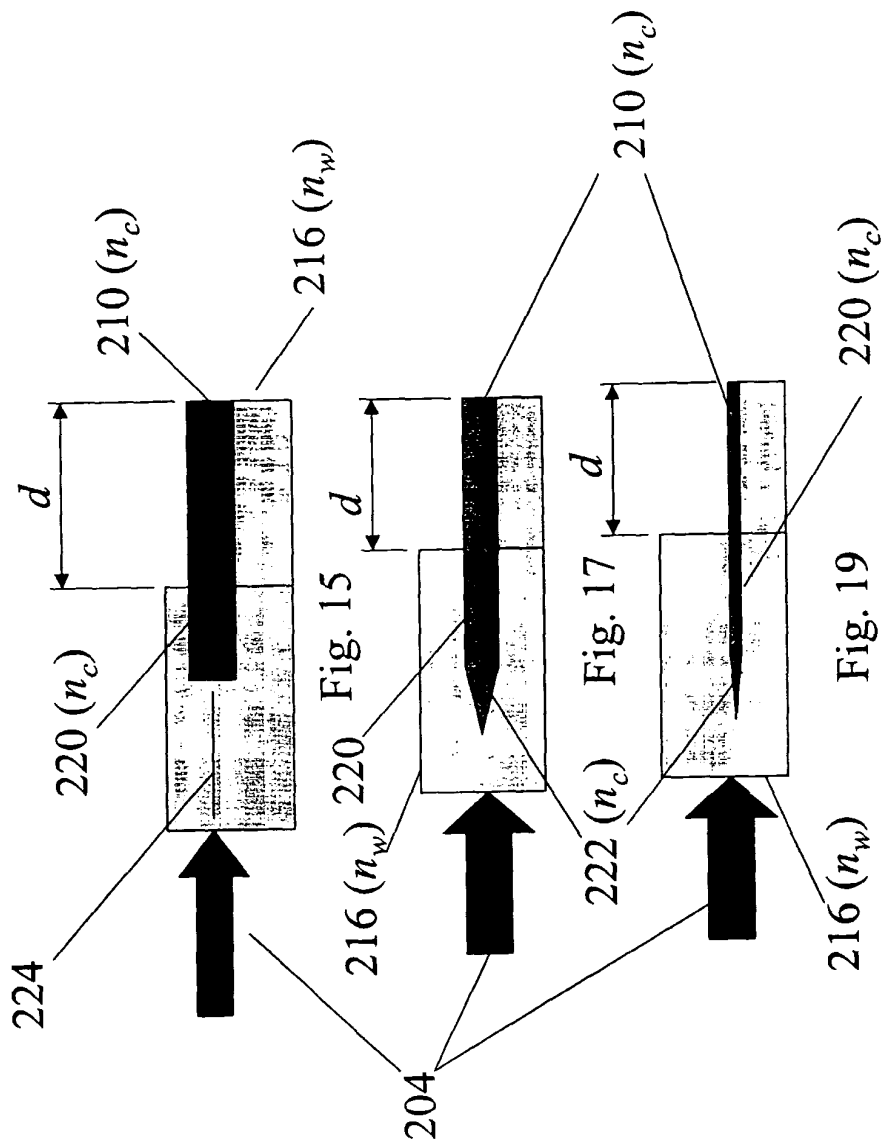


Fig. 16
(See Fig. 17)

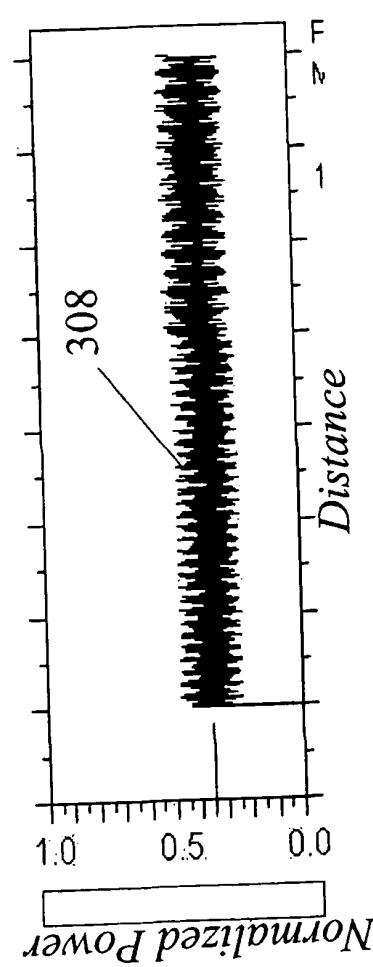


Fig. 18
(See Fig. 17)

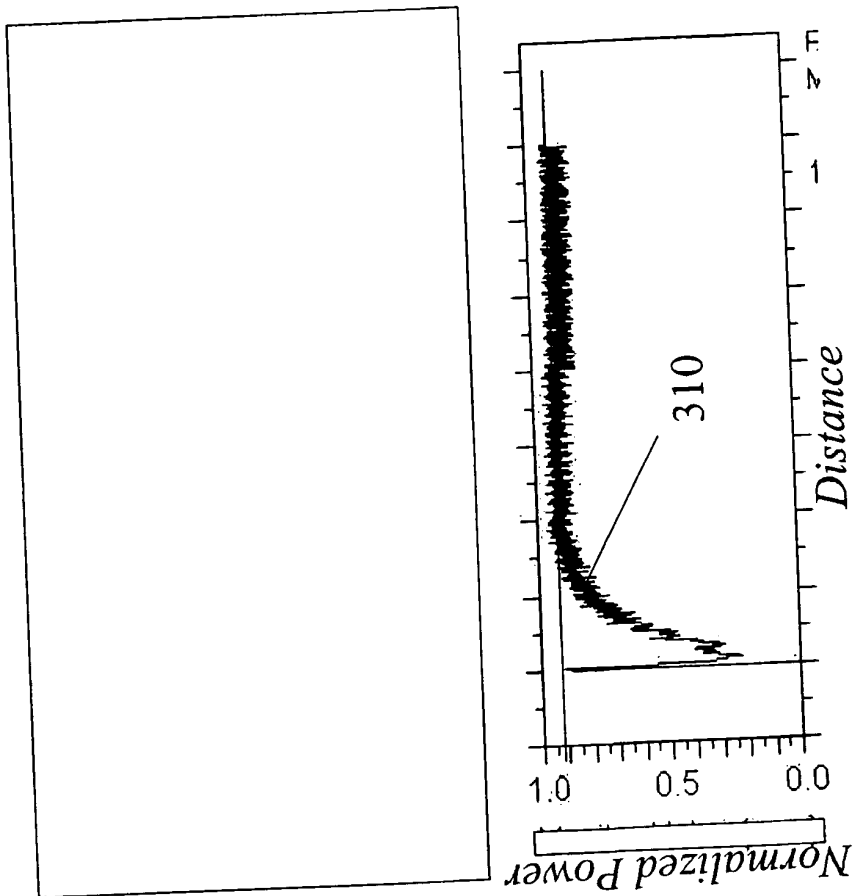
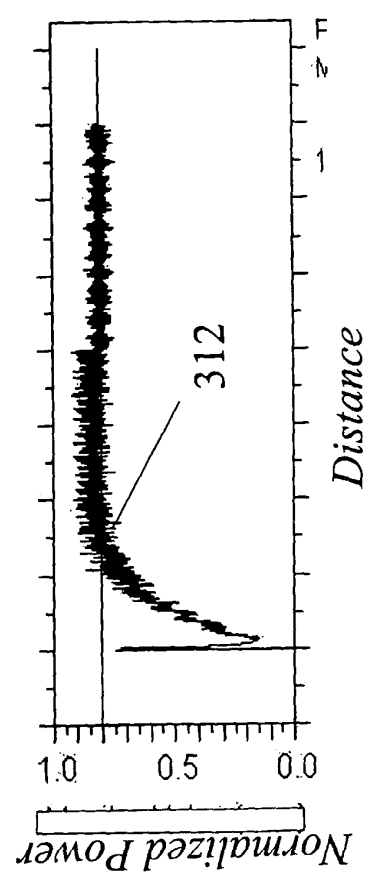


Fig. 20
(See Fig. 19)



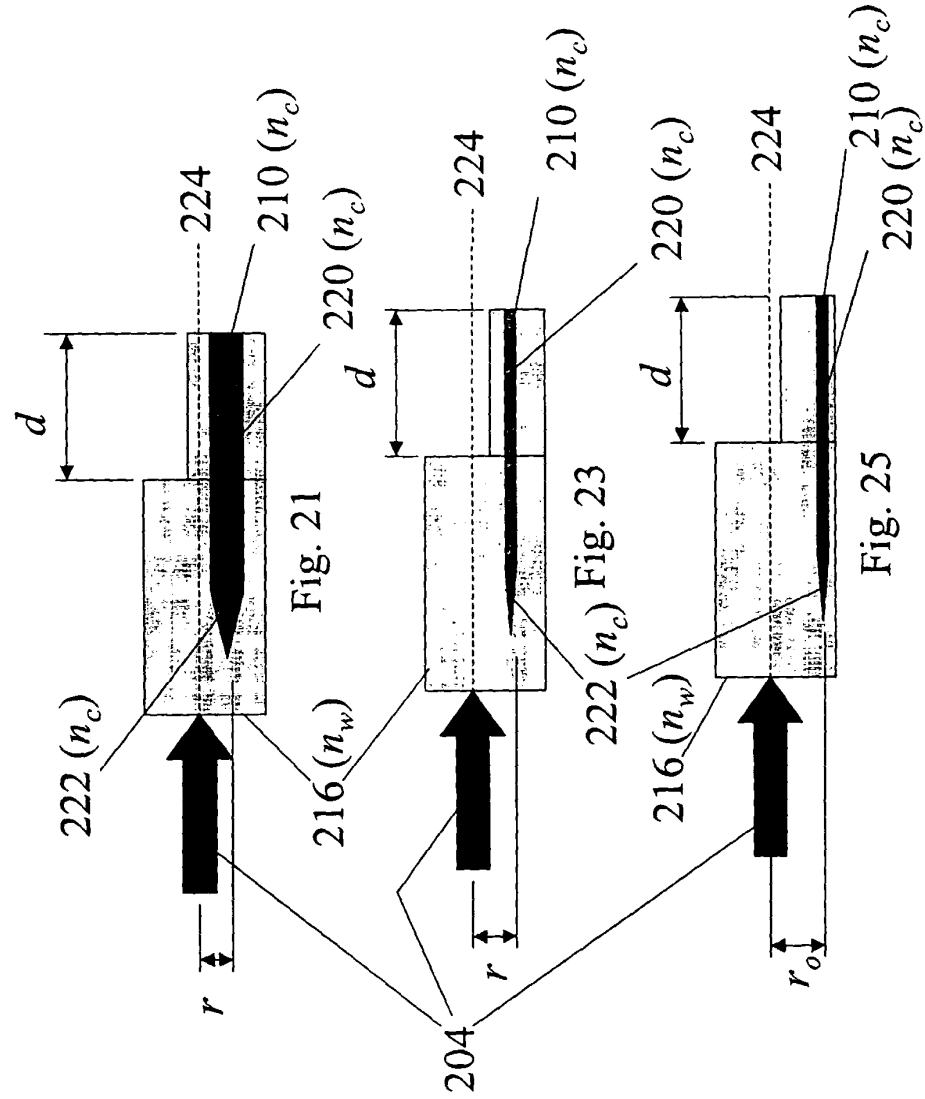


Fig 22
(See Fig. 21)

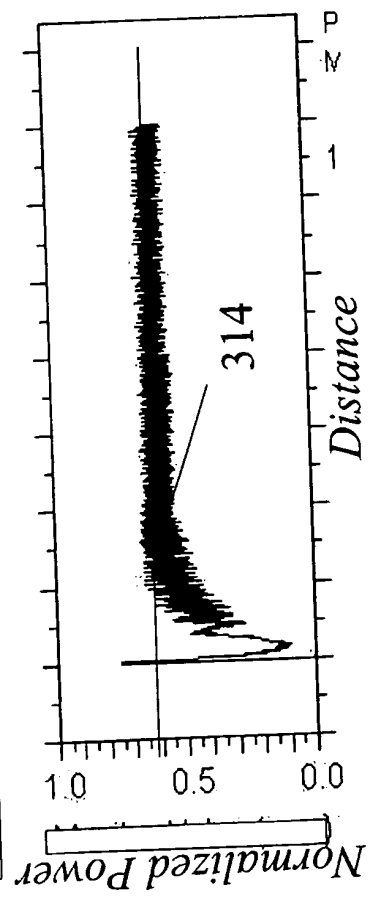


Fig. 24
(See Fig. 23)

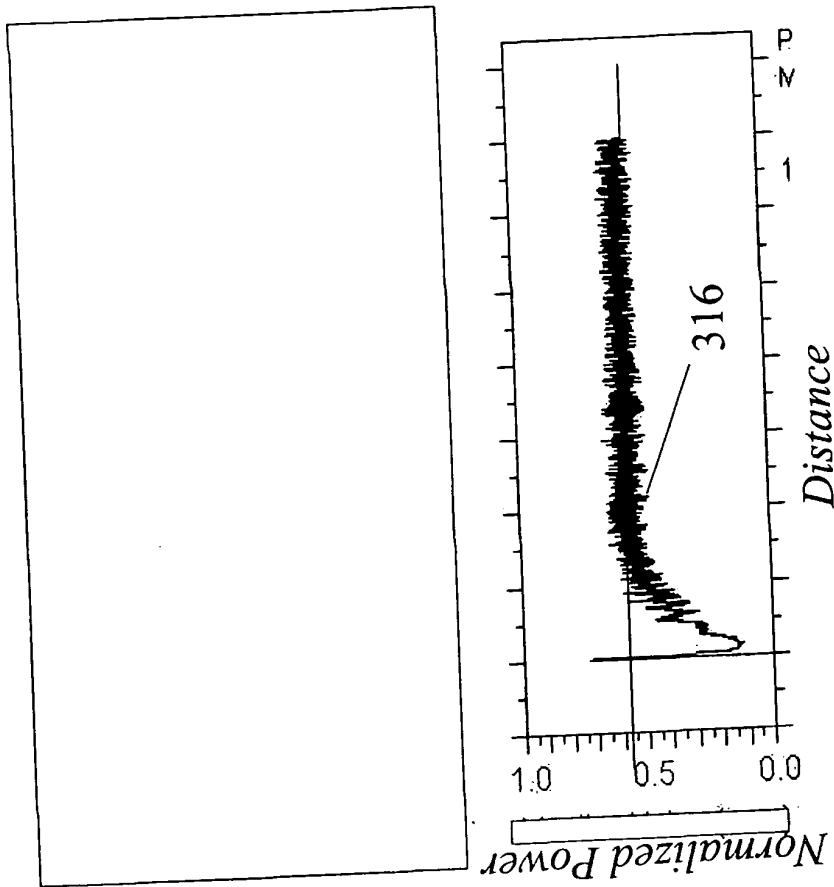


Fig. 26
(See Fig. 25)

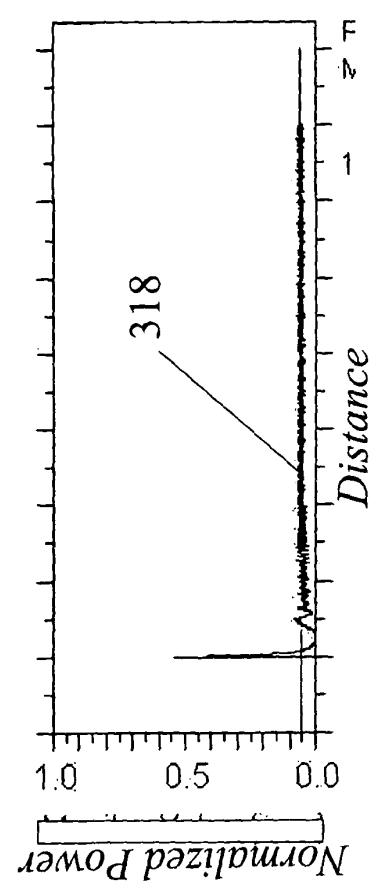
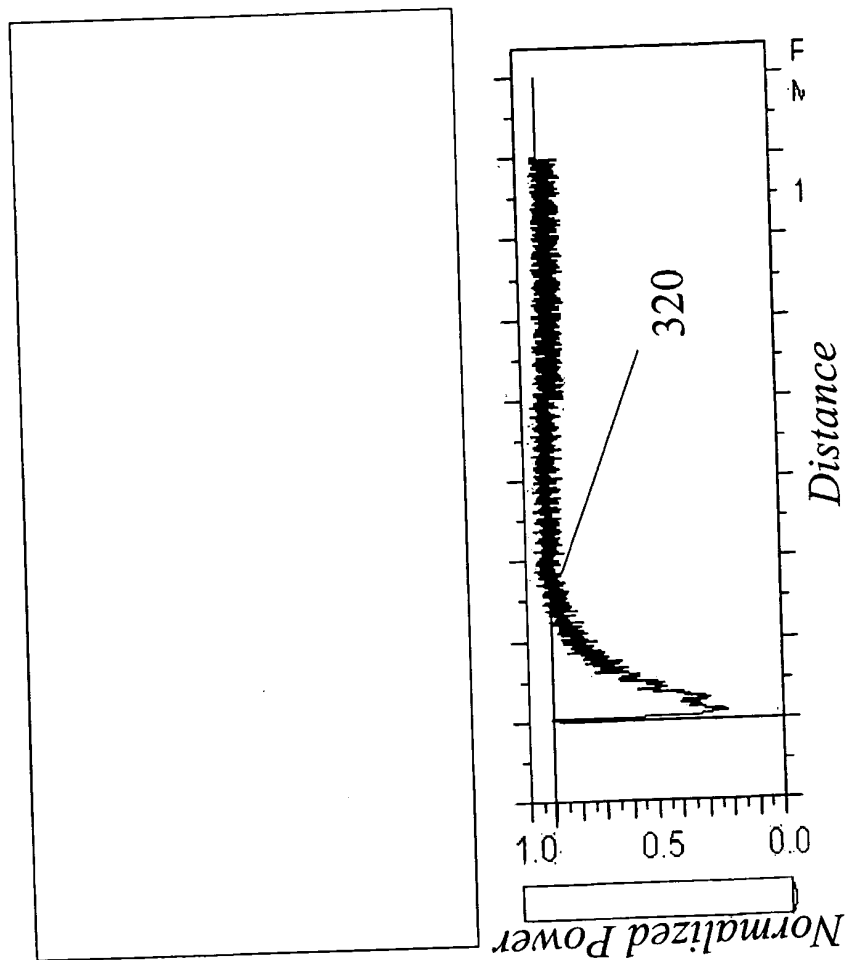


Fig. 27
(See Fig. 17)



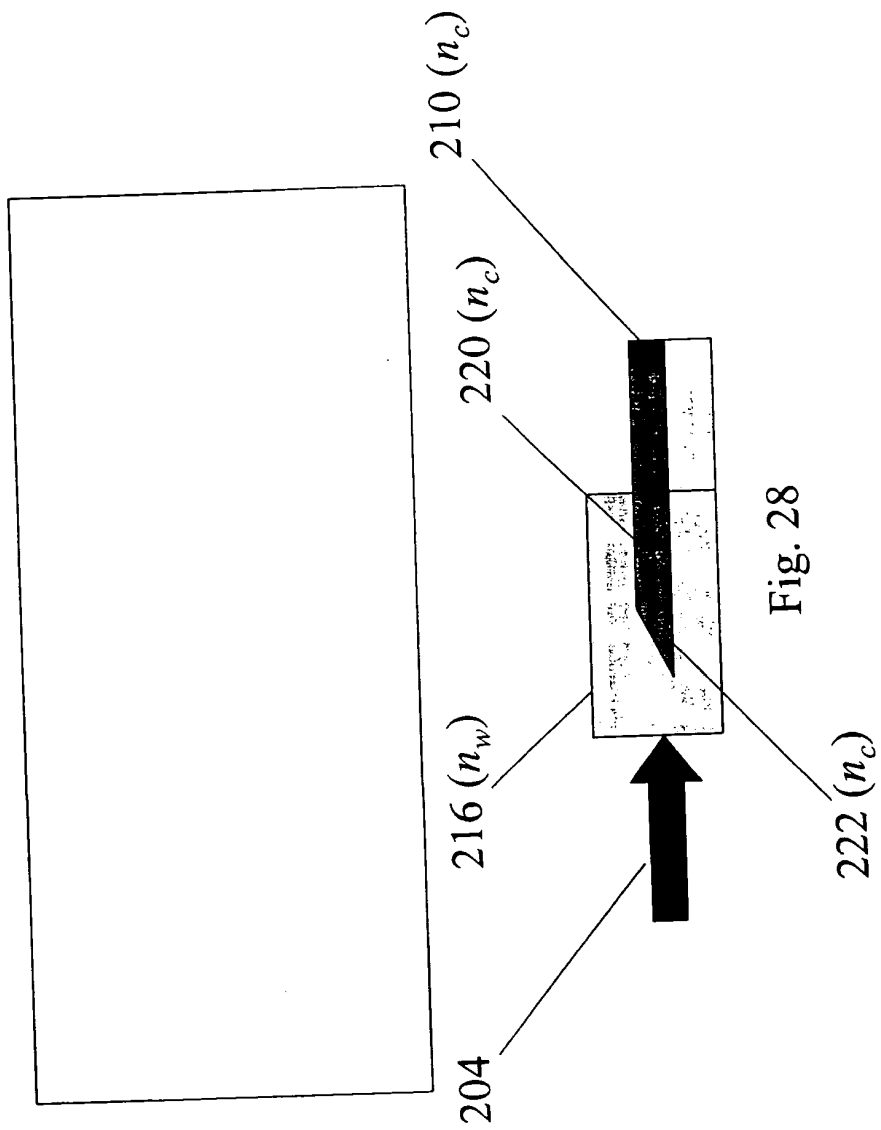
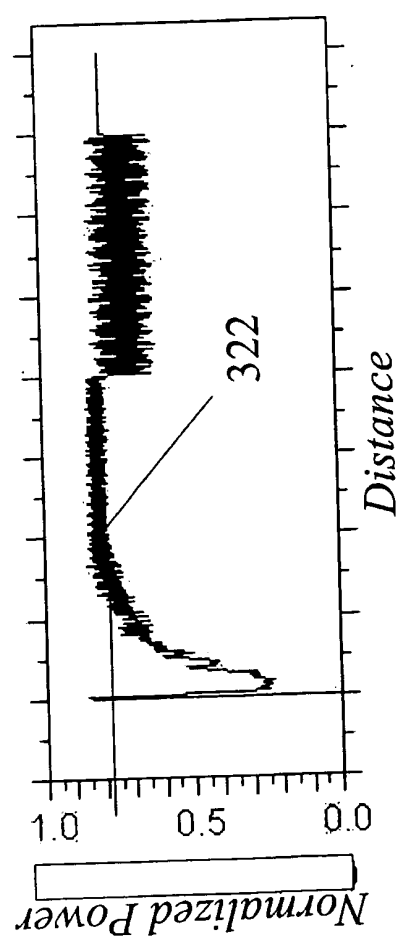


Fig. 28

Fig. 29
(See Fig. 28)



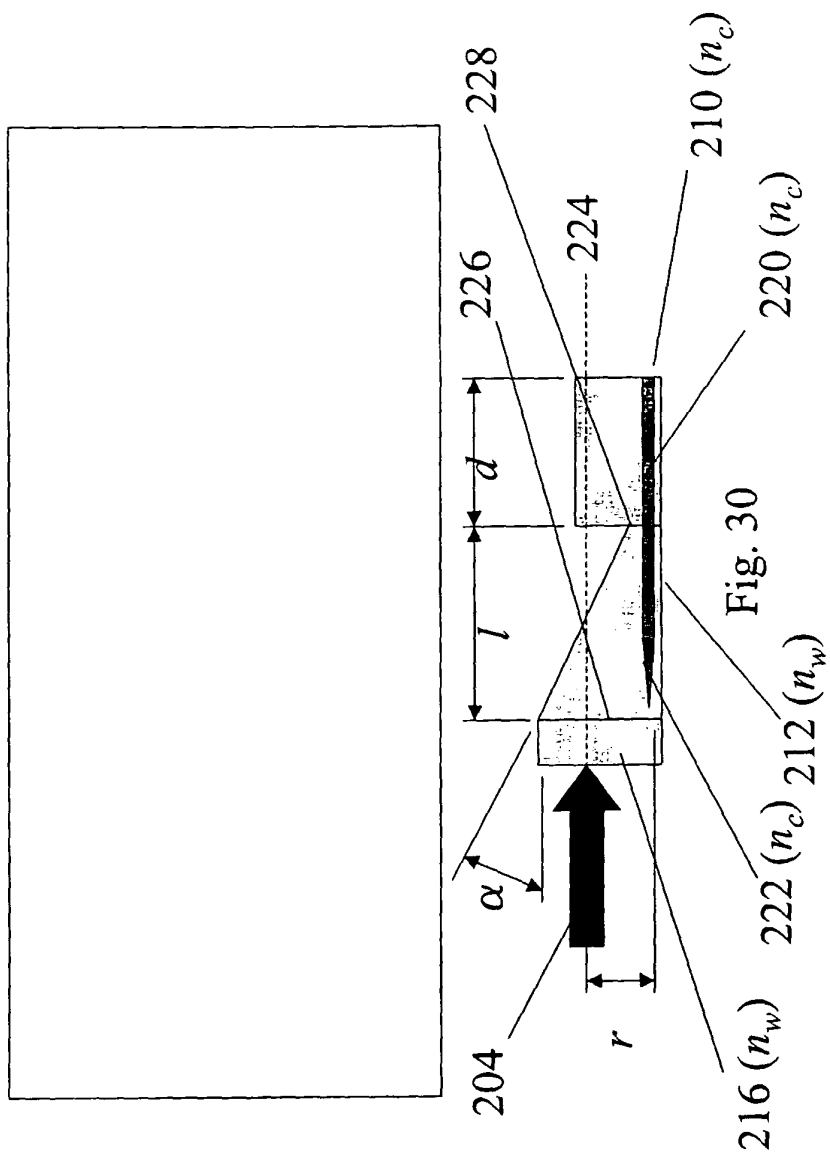
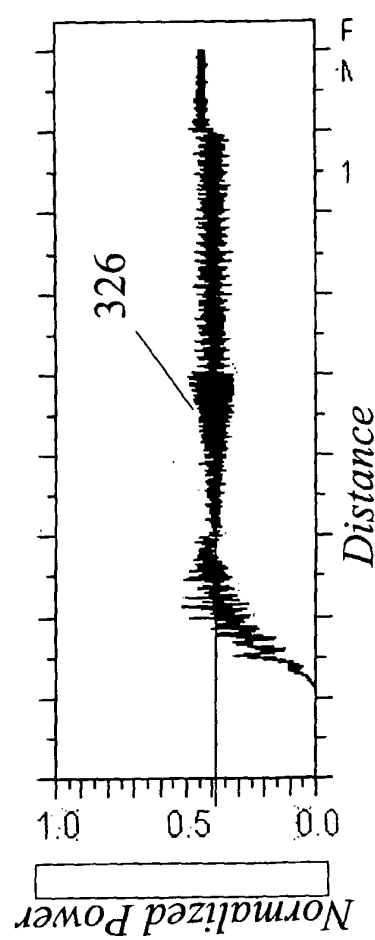


Fig. 31
(See Fig. 30)



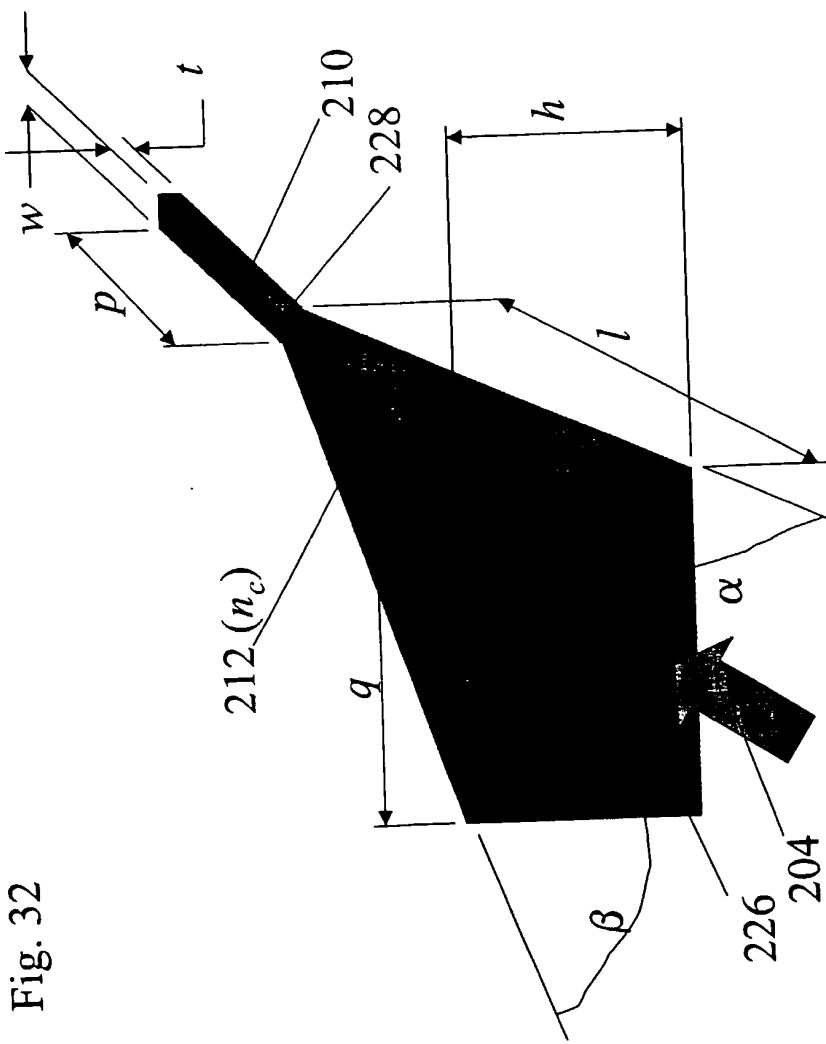


Fig. 32

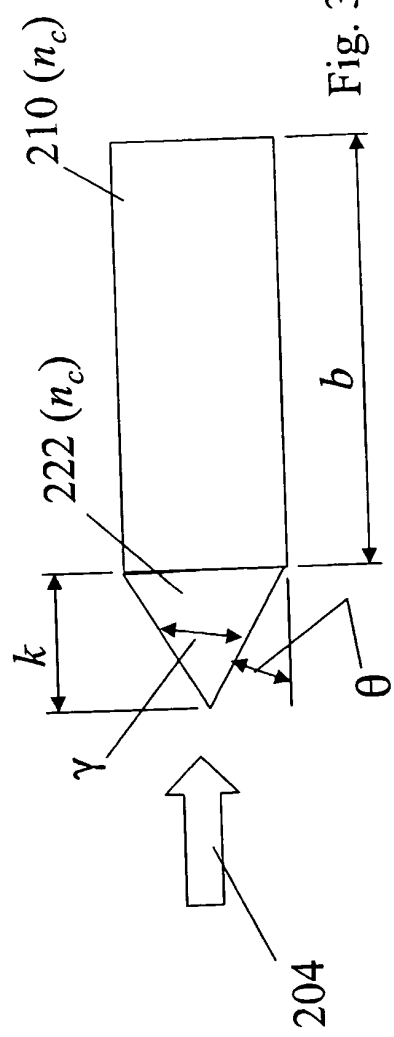


Fig. 33

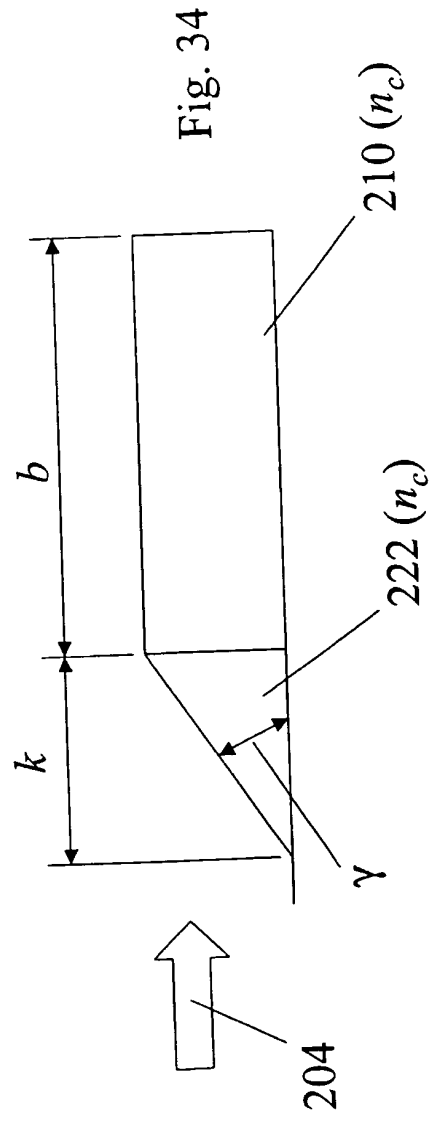


Fig. 34

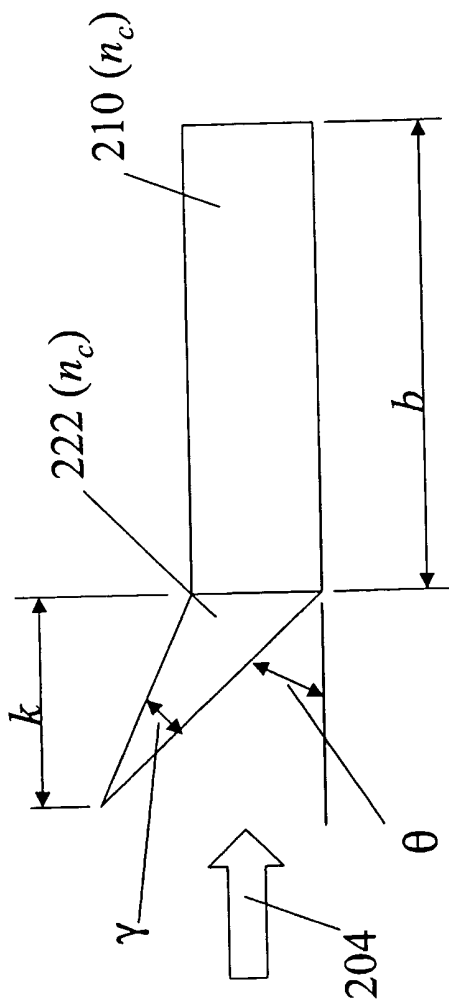


Fig. 35

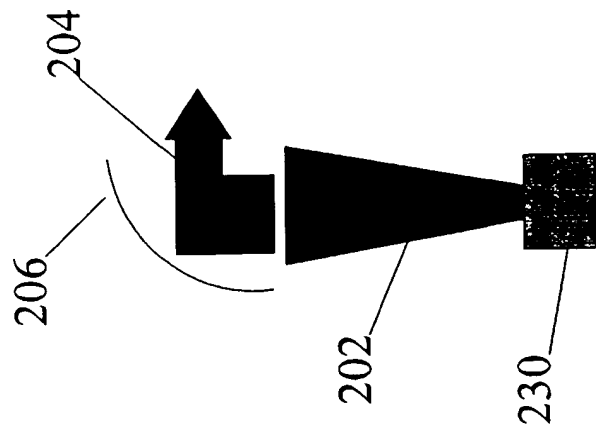


Fig. 37

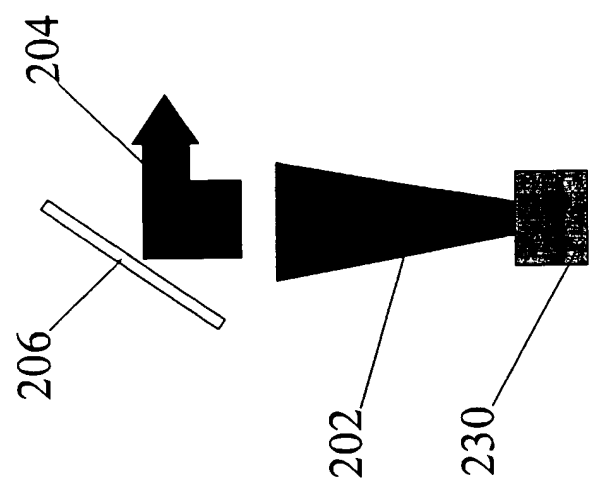


Fig. 36